

ОБЩАЯ ЭКСПЕРИМЕНТАЛЬНАЯ  
ТЕХНИКА

УДК 53.08

ПОВЫШЕНИЕ ЭФФЕКТИВНОСТИ ИЗМЕРЕНИЯ ТЕМПЕРАТУРЫ  
ВОЛОКОННЫМ ДАТЧИКОМ НА ОСНОВЕ БРИЛЛЮЭНОВСКОЙ  
ОПТИЧЕСКОЙ РЕФЛЕКТОМЕТРИИ ВО ВРЕМЕННОЙ ОБЛАСТИ  
С АЛГОРИТМОМ БЛИЖАЙШИХ К-СОСЕДЕЙ (K-NN)<sup>1</sup>

© 2023 г. Ahmed Sabri Kadhim Almoosa<sup>a,b,\*</sup>, Mohd Saiful Dzulkefly Zan<sup>a</sup>, Mohd Faisal Ibrahim<sup>a</sup>, Norhana Arsad<sup>a</sup>, Mohd Hadri Hafiz Mokhtar<sup>a</sup>, Ahmad Ashrif A. Bakar<sup>a</sup>, Ю. А. Константинов<sup>c,\*\*</sup>

<sup>a</sup>Department of Electrical, Electronic and Systems Engineering Faculty of Engineering and Built Environment University Kebangsaan Malaysia (UKM) Malaysia, 43300, Bangi, Selangor

<sup>b</sup>Department of Electronic Technologies Basra Technical Institute, Southern Technical University Iraq, 61001, Basra

<sup>c</sup>Пермский федеральный исследовательский центр УрО РАН  
Россия, 614990, Пермь, ул. Ленина, 13а

\*e-mail: ahmedsabri1988@gmail.com

\*\*e-mail: yuri.al.konstantinov@ro.ru

Поступила в редакцию 23.01.2023 г.

После доработки 15.03.2023 г.

Принята к публикации 10.05.2023 г.

Предлагается использовать алгоритм ближайших К-соседей (K-NN) для обработки зондирующих сигналов, полученных на предложенном авторами ранее оптоволоконном датчике бриллюэновской оптической рефлектометрии во временной области (БОРВО) с высоким пространственным разрешением, называемом дифференциальным кросс-спектральным БОРВО (ДКС-БОРВО). Ключевая проблема, связанная с ДКС-БОРВО, заключается в том, что, когда используемая длительность импульса  $T_L$  меньше, чем время жизни фонона (порядка 10 нс), ширина спектра бриллюэновского усиления (СБУ) увеличивается, хотя при этом и уменьшаются искажения спектра. Несмотря на это уменьшение искажений формы спектра, разрешение по бриллюэновскому сдвигу частоты ухудшается из-за расширения бриллюэновского спектра. С другой стороны, в то время как длительность  $T_L$ , превышающая установленное состояние бриллюэновского сигнала, сужает спектр, возникают боковые лепестки в пределах установленного состояния, что приводит к ухудшению разрешения по бриллюэновскому сдвигу частоты; это ограничение наблюдается только в ДКС-БОРВО, несмотря на его возможности измерения с высоким пространственным разрешением. В нашей модели мы использовали данные, измеренные экспериментально для волокна длиной около 400 м с оптимизированной последовательностью  $T_L$  в диапазоне температур 40–80°C для получения температурного коэффициента Бриллюэна  $C_T$ . Затем, на этапе обучения, мы построили идеальные СБУ с помощью моделирования с различной шириной линии 50–70 МГц, чтобы обучить модель K-NN с учетом изменения ширины линии из-за разницы в условиях на этапах обучения и тестирования, тем самым сделав ее гибкой для различных условий, в которых находится волокно. На этапе тестирования мы использовали данные, измеренные экспериментально для зондирования волокна длиной около 3.6 км с  $T_L = 60$  нс, чтобы получить распределение температуры. Для случая  $T_L = 60$  нс мы улучшили точность определения температуры, используя K-NN, примерно до 2.77°C. Следовательно, можно сделать вывод, что модель K-NN может быть отличным альтернативным инструментом для обработки СБУ, измеренных ДКС-БОРВО, и получения распределения температуры вдоль волокна.

DOI: 10.31857/S0032816223050270, EDN: LHLMAP

## 1. ВВЕДЕНИЕ

Распределенные волоконно-оптические дат-

чики на основе бриллюэновского рассеяния широко известны своей способностью контролировать структурное состояние зданий, мостов, плотин и самолетов [1–4]. Бриллюэновская оптическая рефлектометрия во временной области (БОРВО), которая является одной из хорошо известных технологий бриллюэновской сенсорики, может быть

<sup>1</sup> Международная конференция “Оптическая рефлектометрия, метрология и сенсорика 2023”, Россия, Пермь, 24–26 мая 2023 г. (International conference “Optical Reflectometry, Metrology & Sensing 2023”, Russia, Perm, 24–26, May 2023).

использована для регистрации изменений, происходящих в этих структурах. В БОРВО оптический зондирующий импульс вводится в один торец оптоволокна для взаимодействия с тепловым фоном и генерации волны спонтанного рассеяния Мандельштама–Бриллюэна. Из-за доплеровского сдвига частота спектра спонтанного рассеяния Мандельштама–Бриллюэна смещается на величину бриллюэновского сдвига частоты – около 11 ГГц. Поскольку бриллюэновский сдвиг частоты линейно изменяется с деформацией и температурой, анализ его изменения позволяет измерить степень изменения деформации и температуры в волокне [5, 6].

В обычном БОРВО для генерации спонтанного рассеяния Мандельштама–Бриллюэна используется только один импульс. Это значительно уменьшает отношение сигнал/шум сигнала спонтанного рассеяния Мандельштама–Бриллюэна и делает неточным расчет бриллюэновского сдвига частоты из-за увеличенной ширины бриллюэновского спектра. В то же время увеличение длительности импульса с целью сужения ширины спектра приводит к ухудшению пространственного разрешения. Чтобы преодолеть эти проблемы, в обычном БОРВО были разработаны различные методы достижения разрешения порядка сантиметров с использованием сконструированных последовательностей импульсов вместо одного импульса, а также с использованием специальных методов обработки сигналов [7–10]. Тем не менее эти методы также имеют ограничения с точки зрения точности бриллюэновского сдвига частоты из-за использования обычного метода для его оценки. Лаборатория, где работает часть соавторов, разработала метод ДКС-БОРВО для достижения той же цели [11].

Как отмечено выше, ключевая проблема, связанная с ДКС-БОРВО, заключается в том, что, хотя длительность импульса  $T_L$  менее 10 нс уменьшает спектральные искажения, ширина СБУ увеличивается. Это приводит к ухудшению разрешения по бриллюэновскому сдвигу частоты. В то же время длительность  $T_L$ , превышающая время установившегося бриллюэновского состояния (более 10 нс), способствует сужению спектра, но приводит к появлению боковых лепестков в пределах бриллюэновского стационарного режима. Это в равной степени вызывает ухудшение разрешения по бриллюэновскому сдвигу частоты. В данной модели для извлечения температурного коэффициента Бриллюэна  $C_T$  были использованы данные, полученные экспериментально в диапазоне температур 40–80°C при опросе коротких волокон (длина около 400 м), с импульсом  $T_L$ , оптимизированным до 18 нс. Затем на этапе обучения с помощью моделирования были построены “идеальные” СБУ с различной шириной лин-

ии (50–70 МГц) для обучения модели K-NN, – чтобы учесть изменение ширины линии из-за разницы в условиях на этапах обучения и тестирования. Это сделало модель применимой для различных условий, в которых может находиться волокно. На этапе тестирования были использованы данные, полученные экспериментально для зондирования длинного волокна (протяженность около 3.6 км), с  $T_L = 60$  нс, чтобы получить распределение температуры. Для случая  $T_L = 60$  нс была увеличена точность экстракции температуры из измерений ДКС-БОРВО с использованием K-NN. Следовательно, можно заключить, что этот метод может быть отличным альтернативным инструментом для обработки СБУ, измеренных ДКС-БОРВО, и для получения распределения температуры вдоль волокна.

## 2. МЕТОДОЛОГИЯ

### 2.1. ДКС-БОРВО

Метод ДКС-БОРВО предполагает использование двух зондирующих пакетов. Как показано на рис. 1а, первый пакет состоит из длинного импульса протяженностью  $T_L$  и короткого импульса протяженностью  $T_S$ , которые разделены времененным интервалом  $T_i$ . Во втором пакете присутствует только длинный импульс  $T_L$ . Выходной сигнал, генерируемый каждым пакетом, подвергается дискретизации двумя оконными функциями, имеющими одинаковую продолжительность времени  $T_L$  и  $T_S$  и разделенные интервалом  $T_i$ . Как показано на рис. 1б, быстрое преобразование Фурье рассчитывается на основе взаимной корреляции между данными, полученными с помощью функций широкого и узкого окон для каждого пакета. Когда  $T_L$  установлено больше, чем время жизни фона, вычисление быстрого преобразования Фурье дает малую ширину спектра Бриллюэна для каждого пакета. Вычитание бриллюэновского спектра, сгенерированного двумя пакетами, приводит к получению нового бриллюэновского спектра в точке вдоль волокна. Окончательный спектр Бриллюэна на коротком участке волокна определяется длительностью короткого импульса  $T_S$ , что приводит к субметровому пространственному разрешению.

### 2.2. Алгоритм ближайших K-соседей (K-NN)

Метод ближайших K-соседей – это легко реализуемый алгоритм, который помогает отслеживать все доступные примеры, а также прогнозировать числовую цель на основе их степени сходства (например, функции расстояния). Статистики применяли K-NN в качестве непараметрического метода оценки и выявления закономерностей более пяти десятилетий, начиная с 1970-х годов [12]. Ре-

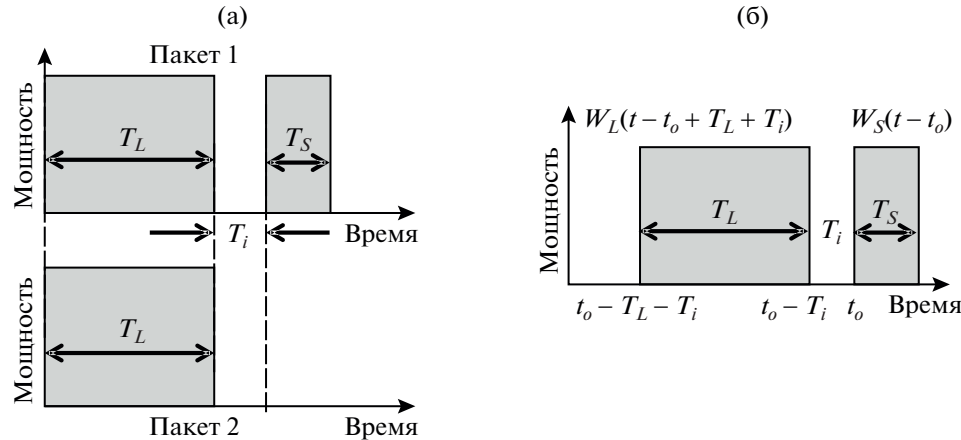


Рис. 1. а) Форма сигнала пары импульсных пакетов. б) Две оконные функции для выбора фрагмента обратно-рассечного излучения, измеренного по каждому пакету.

грессию K-NN легко реализовать, взяв среднее числового целевого значения среди ближайших соседей. Существует альтернативный метод, который берет среднее значение ближайших соседей K и назначает ему вес, обратно пропорциональный расстоянию между ними. Как и классификация K-NN, регрессия K-NN использует функции расстояния, чтобы определить, насколько близко два класса данных должны быть сгруппированы вместе. В табл. 1 приведены типы функций расстояния для измерения расстояния в K-NN [13]. Первые три типа функций допустимы для использования только в отношении непрерывных переменных. Если переменные являются категориальными, в идеале следует использовать расстояние Хэмминга.

Наилучший метод выбора оптимального значения для K состоит в том, чтобы начать с оценки данных. Как правило, высокое значение K означает большую точность, так как оно “смягчает” общий шум. Компромисс, однако, заключается в том, что края пространства признаков должны быть более заметными. Ранее перекрестная проверка служила еще одним методом расшифровки хорошего значения K путем проверки значения K с использованием другого набора данных. Большинство наборов данных лучше всего работает с десятью или более значениями K. Это дает результаты, которые намного лучше, чем результаты K-NN. Для извлечения температурного профиля из СБУ, измеренных БОРВО, используется алгоритм K-NN. Этапы обучения и тестирования K-NN для извлечения информации о температуре из СБУ показаны на рис. 2.

На этапе обучения мы провели эксперимент на установке ДКС-БОРВО, который объясняется в следующем разделе. Как показано на рис. 3, общая длина волокна составляла около 400 м. Мы разделили волокно на две части. Первые

220 м волокна выдерживались при комнатной температуре около 26°C, а второй отрезок длиной около 180 м был помещен в водяной тракт с повышением температуры от 40 до 80°C с шагом 5 °C.

На рис. 4 показано распределение бриллюэновского сдвига частоты для 400-метрового оптоволоконного датчика в случае  $T_L = 18$  нс. Как видно, его величины для первых 220 м составляют около 10870 МГц, а для последних 180 м этот параметр увеличился на 5 значений, поскольку волокно было помещено в водяной тракт, а температура изменилась на 5°C. Также видно, что флуктуации и боковые лепестки очень малы. Это объясняет причину, по которой мы использовали случай 18 нс при построении идеального СБУ.

Спектры Бриллюэна для  $T_L = 18, 60$  нс после обработки по методике ДКС-БОРВО показаны на рис. 5. Для случая  $T_L = 18$  нс мы наблюдали более малую ширину бриллюэновского спектра.

Таблица 1. Типы функций расстояния, используемые в методе K-NN

Функция расстояния	Математическое выражение
Евклидова	$\sqrt{\sum_{i=1}^k (x_i - y_i)^2}$
“Манхэттен”	$\sum_{i=1}^k  (x_i - y_i) $
Минковского	$\left( \sum_{i=1}^k ( x_i - y_i )^q \right)^{1/q}$
Хэмминга	$D_H = \sum_{i=1}^k  (x_i - y_i) $

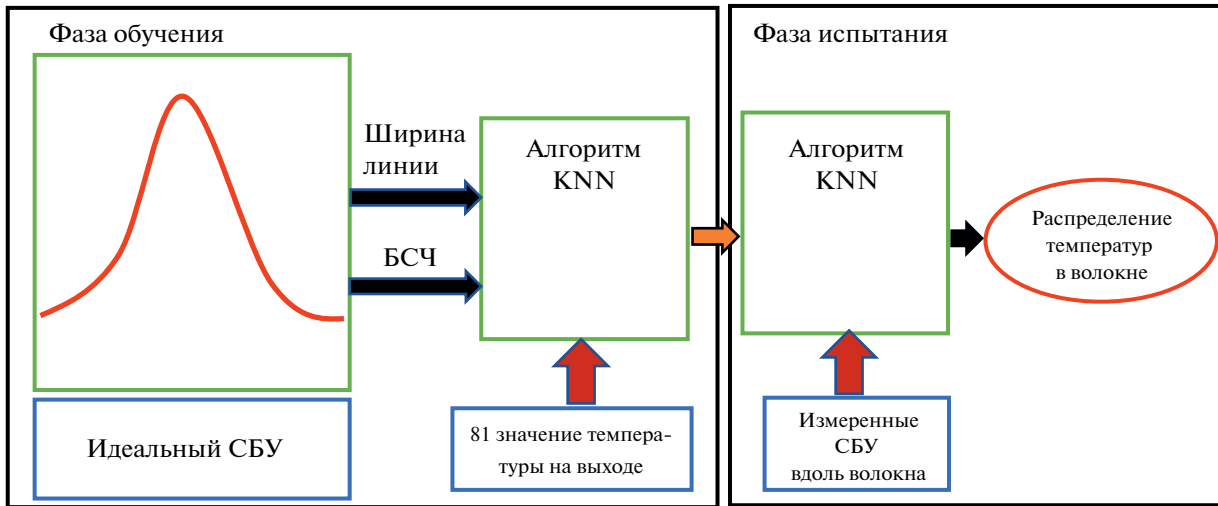


Рис. 2. Предлагаемая модель для извлечения распределения температуры вдоль волокна с использованием алгоритма K-NN.

Была измерена полная ширина на полувысоте (FWHM), она составила 65 МГц. Кроме того, искажение формы спектра для случая  $T_L = 18$  нс, по-видимому, пренебрежимо мало. Это свидетельствует о лучшем результате, чем другие методы БОРВО [5]. Однако для случая  $T_L = 60$  нс форма спектра искажается по мере уменьшения ширины спектра. Кроме того, с обеих сторон основного спектра появляются боковые лепестки с высокой амплитудой. Поскольку эти боковые лепестки появляются вблизи ширины линии спонтанного рассеяния Мандельштама–Бриллюэна, их амплитуды вызывают искажение формы спектра.

Идеальные СБУ для обучения методом K-NN получаются с использованием функции Лоренца [14]

$$g(v) = \frac{g_B}{1 + \left[ (v - v_B) / \left( \frac{\Delta v_B}{2} \right) \right]^2}, \quad (1)$$

где  $v_B$  – бриллюэновский сдвиг частоты,  $\Delta v_B$  – ширина линии, а  $g_B$  – пиковое значение спектра. Бриллюэновские сдвиги частоты идеальных СБУ определяются с использованием температурного коэффициента (угла наклона) и их значений при

25°C (показано на рис. 6) в диапазоне температур от 10 до 90°C с шагом 1°C. Для каждой температуры существует несколько СБУ одного и того же бриллюэновского сдвига частоты, но с разной шириной линии, варьирующейся от 50 до 70 МГц с шагом 1 МГц. Диапазон ширин линии выбирается с учетом практического изменения ширины линии СБУ, получаемого из измерений БОРВО. Таким образом, у нас есть  $81 \times 21$  идеальных температурных СБУ-пар для обучения K-NN. Диапазон частот в уравнении (1) составляет от 10.60 ГГц до 11.05 ГГц, что совпадает с диапазоном сканирования частоты в эксперименте, который равен 2.44140625 МГц.

### 3. ЭКСПЕРИМЕНТАЛЬНАЯ УСТАНОВКА

Конфигурация ДКС-БОРВО показана на рис. 7. Длительность короткого импульса  $T_S$  составляла 4 нс для достижения разрешения 40 см. Для анализа влияния  $T_L$  на производительность ДКС-БОРВО длительность  $T_L$  была взята равной двум значениям – 18 и 60 нс, а интервал между импульсами ( $T_i$ ) составлял 2 нс, здесь учитываются соответственно время жизни фононов и время фронта импульса сигнала. Схема экспериментальной системы такая же, как у обычного БОРВО, за исключением обработки сигнала и конфигурации импульсных пакетов. Оптический импульс генерировался с помощью модулятора Маха–Цендера. Для генерации сигнала на частоте биений за счет взаимодействия бриллюэновского обратного рассеяния света и локального излучения в спектральной области центра полосы частот сбалансированного фотодиода частота пакета импульсов с длиной волны 1.55 мкм была смешена вверх модулятором типа SSBM. Пико-

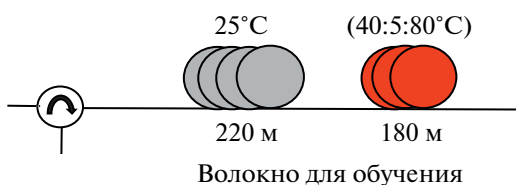
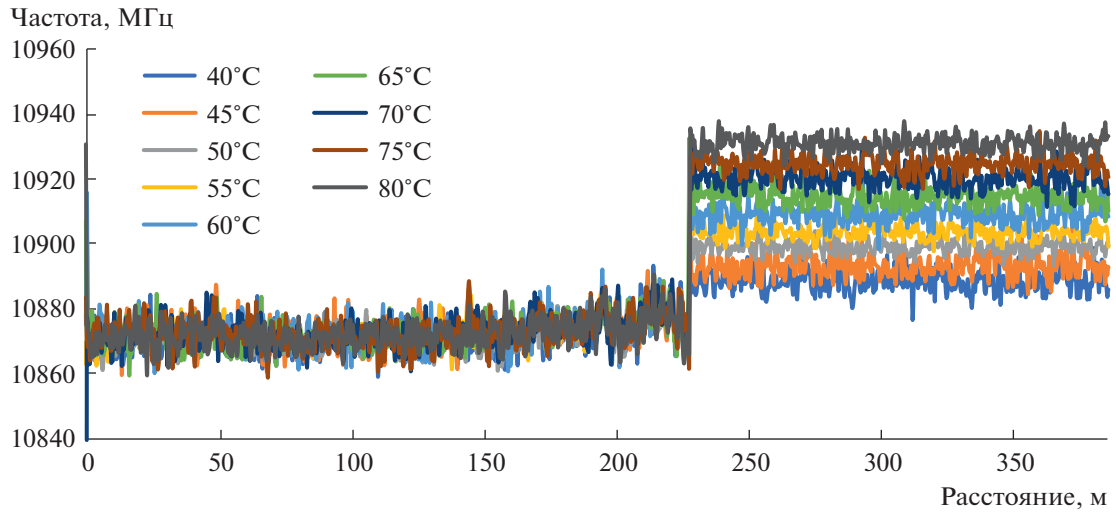
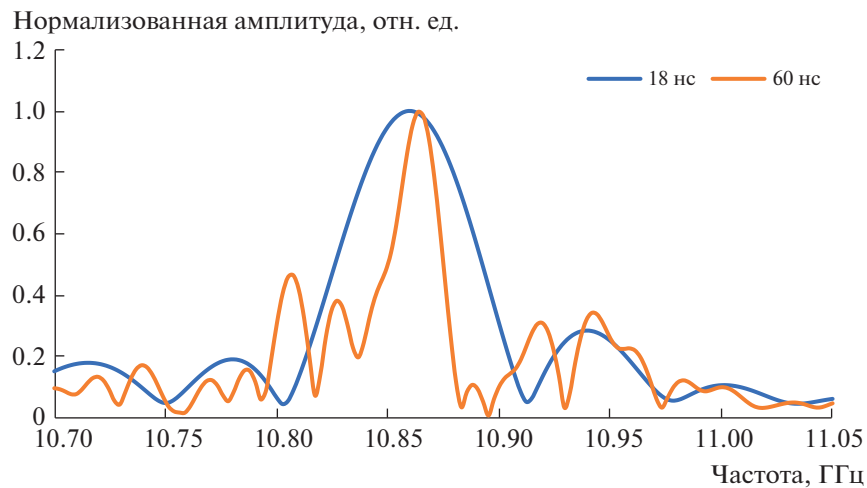


Рис. 3. Волоконный датчик длиной 400 м для обучения.



**Рис. 4.** Распределение бриллюэновского сдвига частоты (БСЧ) для 400-метрового оптоволоконного датчика в случае длительности импульса  $T_L = 18$  нс.



**Рис. 5.** Спектры Бриллюэна для  $T_L = 18$  нс и 60 нс.

вая мощность сигнала оптического пакета, вводимого в исследуемое оптическое волокно, составляла 600 мВт. Затем частотные компоненты всего обратного бриллюэновского рассеяния одновременно регистрировались с помощью балансного фотодетектора. Полученный сигнал подвергался дискретизации цифровым осциллографом, и к дискретным данным применялось быстрое преобразование Фурье для анализа спектра Бриллюэна. Форма сигнала обратно-рассеянного излучения измерялась 20000 раз для каждого из двух импульсных пакетов, показанных на рис. 1. Исследуемое волокно представляет собой одномодовое волокно (ITU-T G650-2) длиной около 3.6 км. Оно было исследовано при комнатной температуре 25°C, а отрезок волокна длиной окон-

ло 5 м был размещен в водяной терmostатической бане с температурой 72°C.

#### 4. РЕЗУЛЬТАТЫ И ОБСУЖДЕНИЕ

На рис. 8 показано распределение температуры вдоль волокна длиной 3.6 км в случае  $T_L = 18$  нс. Хорошо видно, что распределение температуры около 25°C указывает на то, что волокно подвергалось воздействию комнатной температуры, за исключением дальнего конца волокна; температура на 5-метровом волокне составляет около 72°C. В целом, можно четко различить разницу температур между обогреваемыми и необогреваемыми участками. Анализ пространственных фронтов нарастания и убывания нагретого

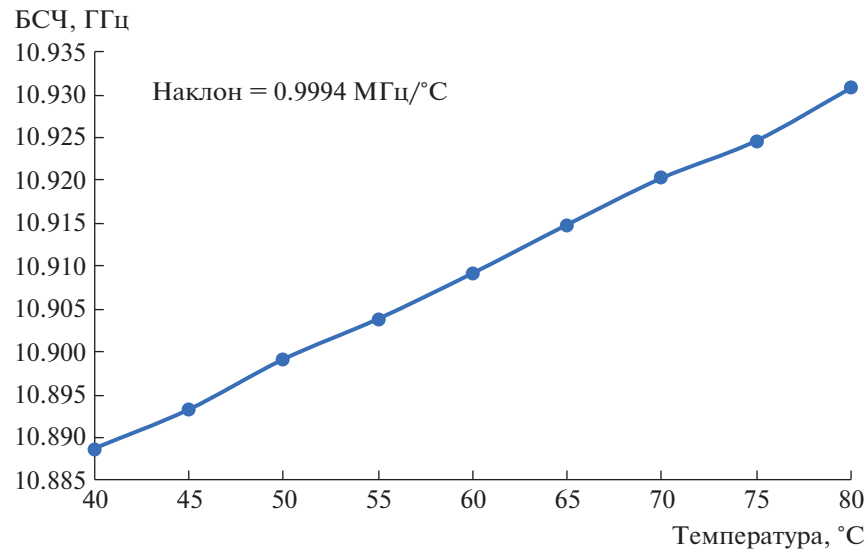


Рис. 6. Взаимосвязь между брэйллюэновским сдвигом частоты и температурой при  $T_0 = 25^\circ\text{C}$ ,  $v_0 = 10.873 \text{ ГГц}$ .

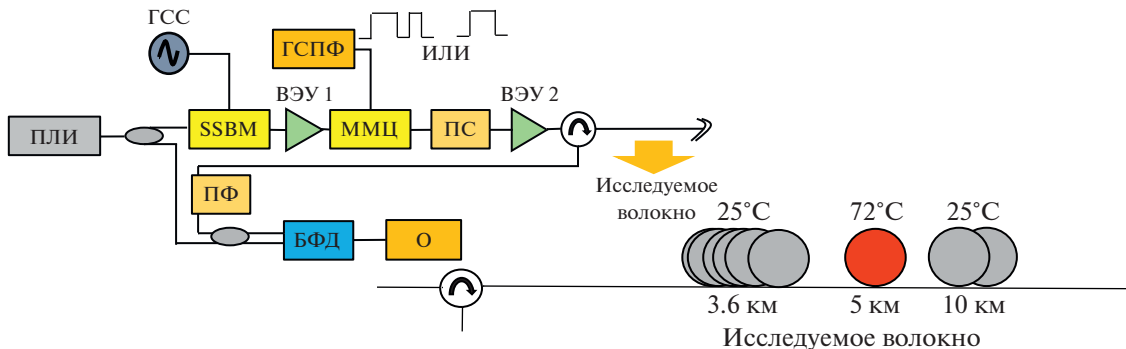


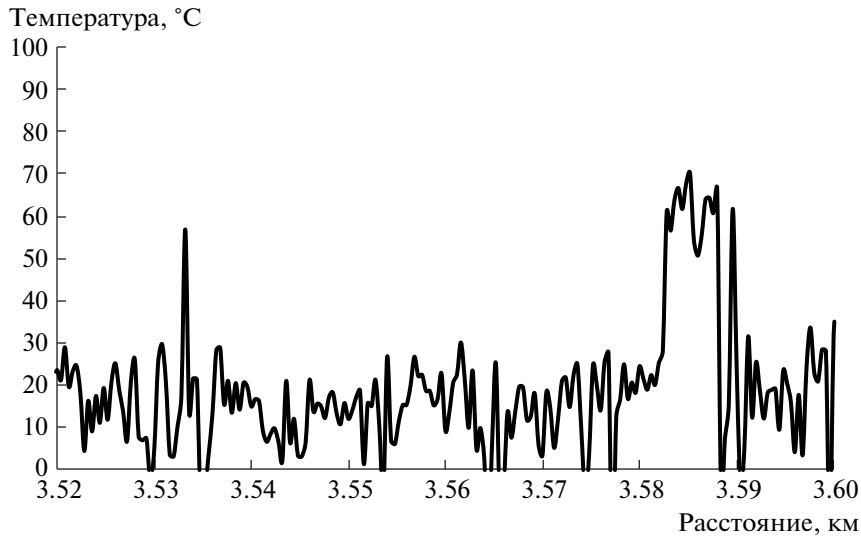
Рис. 7. Схема установки ДКС-БОРВО: ГСПФ – генератор сигналов произвольной формы, БФД – сбалансированный фотодиод, ПФ – полосовой фильтр, ВЭУ – волноконный эрбьевый усилитель, ММЦ – модулятор Маха–Цендера, О – осциллограф, ПС – поляризационный скремблер, SSBM – однополосный модулятор, ГСС – генератор синтезированных сигналов, ПЛИ – перестраиваемый лазерный источник.

участка волокна, а также длины нагревого участка успешно подтверждает пространственное разрешение в 40 см, что соответствует использованию  $T_S = 4 \text{ нс}$ .

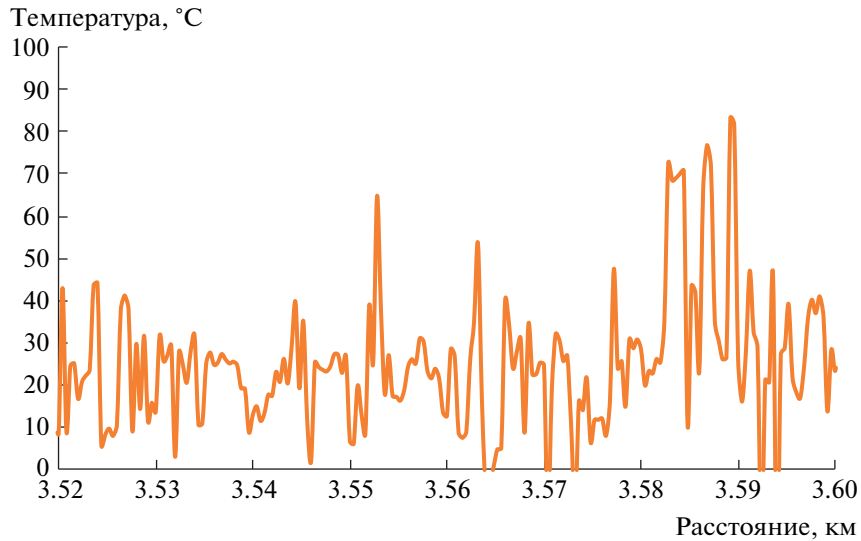
На рис. 9 показано распределение температуры на дальнем конце тестового волокна длиной 3.6 км для случая  $T_L = 60 \text{ нс}$ . В отличие от рис. 8, на дальнем конце волокна трудно наблюдать рост температуры, а значит, невозможно точно определить место нагрева волокна. Это связано с появлением боковых лепестков в окрестности ширины брэйллюэновской линии для случая  $T_L = 60 \text{ нс}$ , показанного на рис. 5, что привело к ошибке в оценке температуры. Погрешность измерения температуры достигала  $30.67^\circ\text{C}$ . Кроме того, повышение температуры на участке волокна длиной 5 м было наблюдать затруднительно.

Также невозможно точно подтвердить пространственное разрешение простым анализом пространственных передних и задних фронтов нагревого участка волокна и длины нагревого участка.

На рис. 10 показано распределение температуры вдоль исследуемого волокна длиной 3.6 км при использовании модели K-NN. На дальнем конце волокна мы заметили, что предложенная модель улучшила распределение температуры. Значительно уменьшилась флуктуация распределения температуры вдоль волокна; мы получили точность определения температуры  $2.77^\circ\text{C}$ . Это подтверждает улучшение точности экстракции температуры по сравнению с наблюдаемой на рис. 9. Кроме того, на дальнем конце волокна отчетливо видно повышение температуры. Наконец, пространственное разрешение 40 см было



**Рис. 8.** Распределение температуры на дальнем конце волокна длиной 3.6 км для случая  $T_L = 18$  нс.



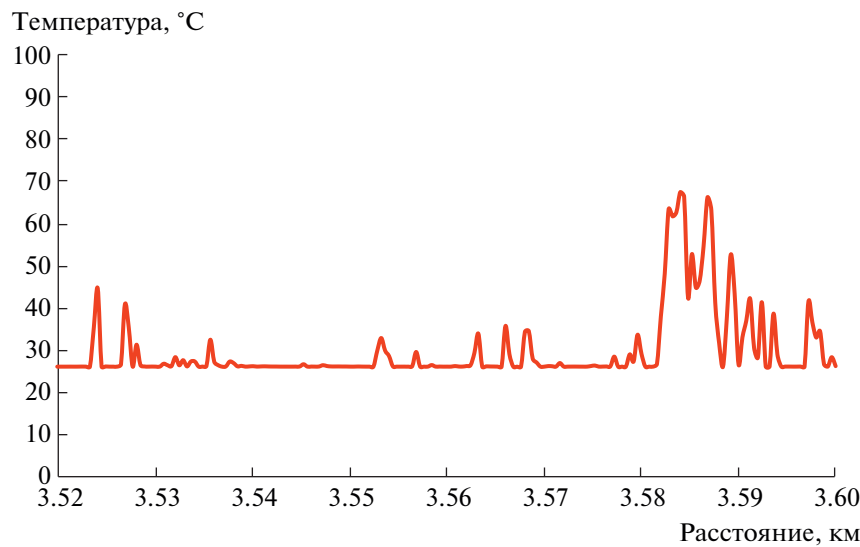
**Рис. 9.** Распределение температуры на дальнем конце волокна длиной 3.6 км для случая  $T_L = 60$  нс.

успешно подтверждено анализом восходящего фронта участка нагретого волокна.

## 5. ЗАКЛЮЧЕНИЕ

Было показано, что модель ближайших K-соседей (K-NN) успешно улучшила измерение распределения температуры для случая  $T_L = 60$  нс в датчике ДКС-БОРВО. На этапе обучения мы провели эксперимент для датчика с коротким волокном (длина около 400 м), чтобы извлечь температурный коэффициент  $C_T$ , который позже использовался для построения идеальных бриллюэновских спектров. Затем мы построили идеальный СБУ на основе лоренцевского спектра усиления

для различных ширин линии в диапазоне от 50 до 70 МГц и для диапазона температур от 10 до 90°C с шагом по температуре 1°C. Таким образом, у нас было  $81 \times 21$  СБУ-температурных пар. И идеальные СБУ, и связанные с ними температуры, которые использовались для обучения K-NN, были нормализованы, чтобы иметь значения от 0 до 1. Именно метод K-NN лучше работает с нормализованными данными. Прежде чем использовать его для извлечения температуры, метод K-NN должен быть сначала обучен расшифровке структуры СБУ и соответствующим им температурам. После того, как модель K-NN полностью обучена, информация о температуре извлекается напрямую. Хорошо видно, что K-NN обеспечивает более вы-



**Рис. 10.** Распределение температуры на дальнем конце волокна длиной 3.6 км для случая  $T_L = 60$  нс после применения модели K-NN.

сокую точность и демонстрирует большую устойчивость к шуму измерений. Кроме того, после обучения K-NN было получено достаточно короткое время обработки с использованием этой модели, оно составляет около 0.1 с. Исходя из этого предварительного результата, мы считаем, что K-NN является потенциальным альтернативным методом для получения данных о температуре из СБУ, измеренных методом БОРВО.

## ФИНАНСИРОВАНИЕ РАБОТЫ

Раздел 1 подготовлен в рамках государственного задания AAAA-A19-119042590085-2

## СПИСОК ЛИТЕРАТУРЫ

1. Bai Q., Wang Q., Wang D., Wang Y., Gao Y., Zhang H., Zhang M., Jin B // Sensors. 2019. V. 19. P. 1862. <https://doi.org/10.3390/s19081862>
2. Bao X., Chen L. // Sensors. 2012. V. 12. P. 8601. <https://doi.org/10.3390/s120708601>
3. Hartog A.H. An introduction to distributed optical fibre sensors. CRC press. 2017. <https://doi.org/10.1201/9781315119014>
4. Almoosa A.S.K., Hamzah A.E., Zan M.S.D., Ibrahim M.F., Arsal N., Elgaoud M.M. // Opt. Fiber Technol. 2022. V. 70. P. 102860. <https://doi.org/10.1016/j.yofte.2022.102860>
5. Zan M.S.D. et al. // Opt. Fiber Technol. 2022. V. 72. P. 102977. <https://doi.org/10.1016/j.yofte.2022.102977>
6. Zan M. et al. // J. Physics: Conference Series 2021. V. 1892. P. 012034. <https://doi.org/10.1088/1742-6596/1892/1/012034>
7. Koyamada Y., Sakairi Y., Takeuchi N., Adachi S. // IEEE Photonics Technol. Lett. 2007. V. 19. P. 1910. <https://doi.org/10.1109/LPT.2007.908651>
8. Nishiguchi K.I., Li C.-H., Guzik A., Kishida K. // Sensors. 2014. V. 14. P. 4731. <https://doi.org/10.3390/s140304731>
9. Horiguchi T., Masui Y., Zan M.S.D. // Sensors. 2019. V. 19. P. 1497. <https://doi.org/10.3390/s19071497>
10. Shibata R., Kasahara H., Elias L.P., Horiguchi T. // IEICE Electron. Express. 2017. P. 14.20170267. <https://doi.org/10.1587/elex.14.20170267>
11. Zan M.S.D., Masui Y., Horiguchi T. // In 2018 IEEE 7th International Conference on Photonics (ICP). 2018. P. 1. <https://doi.org/10.1109/ICP.2018.8533208>
12. Bansal M., Goyal A., Choudhary A. // Decision Analytics J. 2022. V. 3. P.100071. <https://doi.org/10.1016/j.dajour.2022.100071>
13. Chaplot N., Dhyani P., Rishi O. // Inter. J. Comput. Sci., Engin.& Technol. 2013. V. 1. P. 12. Corpus ID: 173168717
14. Nordin N.D., Zan M.S.D., Abdullah F. // Opt. Fiber Technol. 2020. V. 58. P. 102298. <https://doi.org/10.1016/j.yofte.2020.102298>